

IV-35 『工場で発生する廃材の道路築造への利用』

東京都土木技術研究所 正員 達下文一

1. まえがき

各種の工業では、生産過程に種々の廃材を発生している。またこれらの一部は広く利用されているが、道路築造用骨材としては、砂、砂利、碎石に依存している割合が大きい。これらの骨材は天然資源であり、その採掘にも限界がある。東京のような大都市とその周辺においては、年々、その供給が困難となって来た。

本報において筆者は、工業生産過程に発生した廃材を道路築造のための材料(本報では特に埋炭レ路床材料として)として利用した場合について述べる。実験に用いた材料は ①、製鉄工場で発生する“木サイ” ②、火力発電所で発生する“残灰” ③、化学工場で発生する“残灰”等である。これらの廃材は、東京周辺で多量に発生し、その処理に困っているものである。

2. 路床埋炭レ材料として

近年、都市建設に伴って、道路その他にその利用率を増してあり、都内、5ヶ年間の道路掘削面積は、3倍に増大しており、これらの工事は、交通渋滞の原因として早期施工を強いられている。このため、廃材を路床材料として使用するについての室内実験、現場実験を要約記述する。

(1). 室内実験

製鉄工場で発生する“木サイ”も火力発電所で発生する“残灰”も共に火山灰状の多孔質な材料である。また化学工場で発生する“残灰”は、茶褐色を呈し、その粒度の性状、組成は表-1に示す。また乾燥密度と含水比の関係は、図-1に示すように、在来使用している山砂(中ノ瀬産)や海砂(東京湾産)より低い値を示す。これらの

表-1 化学組成 The Chemical Composition.

| 項目 Item | 木サイ Hydrated Slag | 火力 Residual Ash | 化学 Residual Ash | 山砂 Mountain Sand | 海砂 Sea Sand |
|---------------------------------------|----------------------|--------------------|--------------------|---------------------|----------------|
| 乾燥密度 Dry Density | 0.91 | 0.89 | 0.80 | 1.20 | 1.20 |
| 最適含水比 Optimum Moisture Content (%) | 13.8 | 20.8 | 17.4 | 19.0 | 5.0 |
| 乾燥密度 Dry Density | 0.91 | 0.69 | 0.69 | 1.01 | 1.14 |
| PH-値 pH-value (25°C) | 8.9 | 7.7 | 7.3 | 4.5 | 3.2 |
| 比重量 Specific Gravity | 2.8 | 1.9 | 1.8 | 2.2 | 4.6 |
| 組成率 Composition (%) | | | | | |
| SiO ₂ | 31.30 | 51.00 | 54.02 | 72.5 | 7 |
| CaO | 37.19 | 6.87 | 5.47 | 0.3 | 0.5 |
| H ₂ O | 6.33 | 2.2 | 2.16 | 0.7 | 0.2 |
| その他 Others | | | | | |

図-1 乾燥密度と含水比の関係 (最適含水比)
Dry Density / Moisture Content Curve.
(Optimum Moisture Content)

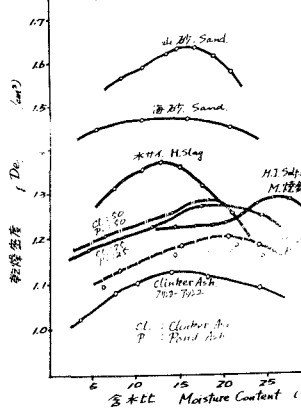


図-2 粒度加積曲線
Grain Size Accumulation Curve

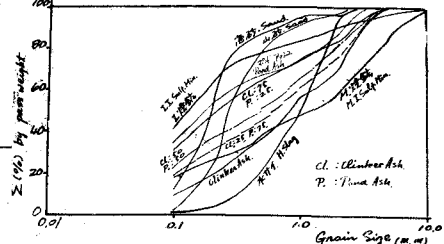


図-1 乾密度と含水比の関係 (最適含水比) 乾密度と含水比の関係は、図-1に示すように、在来使用している山砂(中ノ瀬産)や海砂(東京湾産)より低い値を示す。これらの粒度加積曲線は図-2に示す。一方、CBR試験の結果は、図-3に示すように良好な値を示す。これらは、すべて96時間水浸後のものである。また、これらの水浸の“残灰”や“木サイ”は、体積変化も少なく締固める程に密度を増し、含水量も少くなる。図-4はその関係である。また、これらはせい弱性があり、図-5は、突固め回数による加積曲線の変化を示している。

(2). 現場実験.

現場実験は、
テストピット、
地下電力線用
管路溝におい
て行った。各
試料は、15cm
厚さ毎に締固
め、表面は振
動締固機によ
った。これら
の値を、実際
に施工されて
いる地下鉄工
事跡の路床(砂)
と比較するに、
その支持力係
数は、遙かにま
さっている。こ
のことは、可
なり、砂は、
この締固めが
むずかしい。工
事がしずら
いの反し、"残
灰"等は、工
事が易いこ
とを意味する。
図-6は、振
動締固機の通
回数による
輻圧効果を
示している。
しかし、乾
燥密度・含
水比の関係
は、図-7に
示すように
多分にあ
っている。こ
れら廢材が
一般に比
率が高い
(特定の物
を除く)と
いうこと
に起因して
いる。

3. あとがき

この報告は、大都市周辺において、砂に替
つての埋立路床材料を簡便に見出すこと
にある。上記、各実験において、その
目的を十分達し得たものが多し。
(I. 焼鉱は除く)。したがって、
これらを使用した場合の利点は、

- 1). 材料単価が安い。
- 2). 近距離の工場が発生するため、運搬が容易、運送が安い。
- 3). 毎日、多量に発生している。
- 4). 在来の埋立砂の性状と、全体的な比較をすれば、遜色ない。
- 5). 工事費は、取扱が易い、材料単価、入手の簡易さ等の点で20~25%安くなる。
- 6). 添加剤の混入による、基層用安定処理材料として使用しうる。

等である。

最後に、本報作成に御援助いただいた方々
に心から感謝の意を表します。

図-3 室内実験における CBR と乾燥密度の関係
California Bearing Ratio (Sinking) / Dry Density
Relationship in the Laboratory.

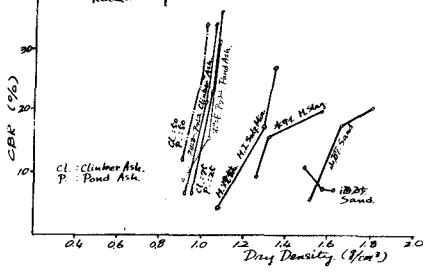


図-4 交回回数と吸水比の関係
Relationship between Drop Hammering
and Water Absorption Ratio.

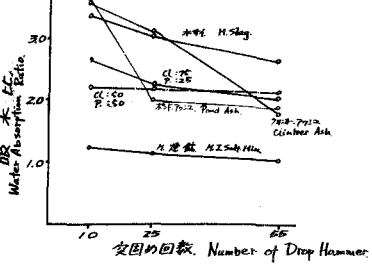


図-5 交回回数による粒径の累積曲線の変化
Variation of Grain Size
Accumulation Curve by
Number of Drop Hammering.

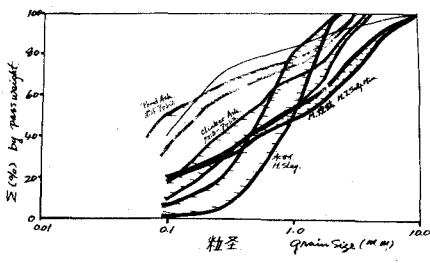


図-6 輻圧効果 Effect of Compaction.

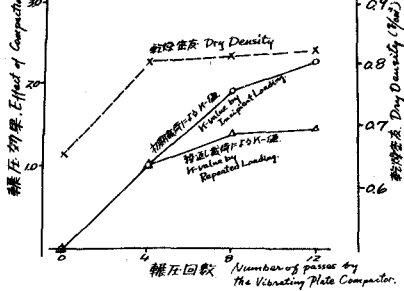


図-7 現場実験における乾燥密度と含水比の関係
Dry Density / Moisture Content Relationship
in the Field.

